

# ЧИСЛЕННАЯ МОДЕЛЬ ДИНАМИКИ ВНУТРЕННИХ ВОЛН, ГЕНЕРИРУЕМЫХ ЦИЛИНДРОМ ПЕРЕМЕННОГО РАДИУСА В ЛИНЕЙНО СТРАТИФИЦИРОВАННОЙ СРЕДЕ\*†

А. В. ФОМИНА

*Новокузнецкий государственный педагогический институт, Россия*

Е. А. ШЕЛЯКОВА

*Кемеровский государственный университет, Россия*

Рассматривается плоское нестационарное течение, генерируемое пульсирующим горизонтальным круговым цилиндром в невязкой несжимаемой линейно стратифицированной жидкости. Построена численная модель этого течения. Приведены результаты тестовых расчетов.

## 1. Постановка задачи

Для описания течения привлекаются уравнения Эйлера в приближении Буссинеска. После введения функции тока  $\psi$  и завихренности  $\omega$  эти уравнения записываются в виде

$$\frac{\partial^2 \psi}{\partial x^2} + \frac{\partial^2 \psi}{\partial y^2} = \omega, \quad (1)$$

$$\frac{\partial \omega}{\partial t} + u \frac{\partial \omega}{\partial x} + v \frac{\partial \omega}{\partial y} = \frac{g}{\rho_0} \frac{\partial \rho}{\partial x}, \quad (2)$$

$$\frac{\partial \rho}{\partial t} + u \frac{\partial \rho}{\partial x} + v \frac{\partial \rho}{\partial y} = 0. \quad (3)$$

Здесь  $u = \partial \psi / \partial y$ ,  $v = -\partial \psi / \partial x$  — горизонтальная и вертикальная компоненты скорости,  $g$  — ускорение силы тяжести,  $\rho$  — плотность жидкости, система координат введена таким образом, что ось  $y$  направлена вертикально вверх, против силы тяжести. Задача сводится к отысканию функций  $\psi$ ,  $\omega$ ,  $\rho$  в области с переменной границей:  $t \in [0, t_1]$ ;  $x, y \in \Omega_t$ ;  $t_1 > 0$ ,  $\Omega_t = \{x, y : x \geq 0, y \geq 0, x^2 + y^2 \geq q(t)\}$ ,  $q(t) = r_0 - A \cos(\omega_f t)$ .

В качестве начальных условий ставились следующие:

$$\psi = \omega = 0, \quad \rho = \rho_s(y), \quad t = 0, \quad x, y \in \Omega_0. \quad (4)$$

\*© А. В. Фомина, Е. А. Шелякова, 1996.

†Работа выполнена при финансовой поддержке Российского фонда фундаментальных исследований, гранты №95-01-00910, №95-01-01339.

Из соображений симметрии решение отыскивалось в первом квадранте плоскости  $XOY$ . Граничные условия полагались следующими:

$$\begin{aligned}\omega &= \frac{\partial\psi}{\partial r} = 0, \quad r^2 = x^2 + y^2 \rightarrow \infty, \quad t \geq 0, \\ \rho &= \rho_s(y), \quad r^2 \rightarrow \infty, \quad t \geq 0. \\ \rho &= \rho_0, \quad \omega = 0, \quad \psi = 0, \quad y = 0, \quad x \geq q(t), \quad t \geq 0, \\ \psi &= \theta q(t) \frac{dq(t)}{dt}, \quad x^2 + y^2 = q^2(t), \quad t \geq 0, \\ \psi &= \frac{\pi}{2} q(t) \frac{dq(t)}{dt}, \quad \omega = 0, \quad x = 0, y \geq q(t), \quad t \geq 0,\end{aligned}\tag{5}$$

где  $\theta = \arctan(y/x)$ ;  $\rho_0 = \rho_s(0)$ ,  $\rho_s = \rho_s(y)$ , — плотность невозмущенной жидкости.

Для построения численного алгоритма решения задачи осуществлялся двойной переход в новые системы координат:

$$t' = t, \quad r^2 = x^2 + y^2, \quad \theta = \arctan(y/x),\tag{6}$$

$$t'' = t', \quad r' = \varphi_1(t', r, \theta), \quad \theta' = \varphi_2(t', \theta).\tag{7}$$

## 2. Численный алгоритм

Алгоритм решения задачи сводится к последовательному интегрированию преобразованных уравнений (1)–(3) на каждом временном слое. Уравнение (1) при этом интегрировалось с применением итерационной схемы стабилизирующей поправки [1]. При интегрировании уравнений (2), (3) использовался метод расщепления [1]

$$\begin{cases} \frac{\partial\omega}{\partial t''} + A \frac{\partial\omega}{\partial r'} = F, \\ \frac{\partial\omega}{\partial t''} + B \frac{\partial\omega}{\partial \theta'} = 0; \end{cases}\tag{8}$$

$$\begin{cases} \frac{\partial\rho}{\partial t''} + A_1 \frac{\partial\rho}{\partial r'} = 0, \\ \frac{\partial\rho}{\partial t''} + B_1 \frac{\partial\rho}{\partial \theta'} = 0, \end{cases}\tag{9}$$

где  $A, B, A_1, B_1$  — коэффициенты в уравнениях при производных  $\partial\omega/\partial r'$ ,  $\partial\omega/\partial \theta'$ ,  $\partial\rho/\partial r'$ ,  $\partial\rho/\partial \theta'$ ;  $F$  — правая часть уравнения (2). Система уравнений (8) аппроксимируется с применением мажорантной разностной схемы [1]:

$$\frac{\omega_{i,j}^{n+1/2} - \omega_{i,j}^n}{\tau} + A_{i,j} \begin{cases} \frac{\omega_{i,j}^{n+1/2} - \omega_{i-1,j}^{n+1/2}}{h'_1}, & A_{i,j} > 0 \\ \frac{\omega_{i+1,j}^{n+1/2} - \omega_{i,j}^{n+1/2}}{h'_1}, & A_{i,j} < 0 \end{cases} = F_{i,j},$$

$$\frac{\omega_{i,j}^{n+1} - \omega_{i,j}^{n+1/2}}{\tau} + B_{i,j} \begin{cases} \frac{\omega_{i,j}^{n+1} - \omega_{i,j-1}^{n+1}}{h'_2}, & B_{i,j} > 0 \\ \frac{\omega_{i,j+1}^{n+1} - \omega_{i,j}^{n+1}}{h'_2}, & B_{i,j} < 0 \end{cases} = 0.$$

Здесь  $\tau$ ,  $h'_1$ ,  $h'_2$  — параметры конечно-разностного алгоритма: шаги сетки по времени и переменным  $r'$ ,  $\theta'$  соответственно. Разностная аппроксимация для системы уравнений (9) выбиралась аналогичной. Алгоритм строился так, что для отыскания функции тока в правой части уравнения (1) использовались значения завихренности с нижнего временного слоя. Система уравнений (1)–(3) нелинейна. В связи с этим рассматривалась также версия алгоритма с итерациями по нелинейности. Численные эксперименты показали возможность использования более простого в реализации безытерационного подхода. Рассмотренный алгоритм имеет первый порядок аппроксимации по пространственным и временной переменным. С целью повышения порядка аппроксимации по пространственным переменным предполагается рассмотрение модификации алгоритма, основанной на идее метода предиктор—корректор [1].

Конечно-разностная сетка в переменных  $t'$ ,  $r'$ ,  $\theta'$  выбиралась равномерной (с параметрами  $\tau$ ,  $h'_1$ ,  $h'_2$ ). Ей соответствовала неравномерная подвижная сетка в исходной системе координат. При численном решении задачи краевые условия для  $\psi$ ,  $\omega$ ,  $\rho$  (или  $\rho_1 = \rho - \rho_s$ ) из бесконечности сносились на окружность достаточно большого радиуса  $r = R$ . Наряду с условиями (5) при  $r = R$  ставилось открытое граничное условие [2] для  $\psi$ :

$$\frac{\partial \psi}{\partial t''} + \frac{1}{r_{r'}} \frac{\partial \psi}{\partial r'} (c - r_{t''}) = 0. \quad (10)$$

Для этого уравнения использовалась конечно-разностная аппроксимация

$$\frac{\psi_{i,j}^{n+1} - \psi_{i,j}^n}{\tau} + \frac{1}{(r_{r'}^h)_{i,j}^{n+1}} \left[ c_{i,j} - (r_{t''}^h)_{i,j}^{n+1} \right] \frac{\psi_{i,j}^n - \psi_{i-1,j}^n}{h'_1} = 0. \quad (11)$$

В (11) индексы  $i, j$  принимают значения, соответствующие приграничным и граничным узлам  $(N_1 - 1, j)$ ,  $(N_1, j)$ ,  $j = 2, \dots, N_2 - 1$ ;  $N_1, N_2$  — число узлов сетки по переменным  $r'$ ,  $\theta'$ ;  $(r_{t''}^h)_{i,j}^{n+1} = (r_{i,j}^{n+1} - r_{i,j}^n) / \tau$ ;  $(r_{r'}^h)_{i,j}^{n+1}$  — сеточный аналог производной  $\partial r / \partial r'$  на  $(n + 1)$ -м слое по времени. На основе аппроксимации (11) уравнения (10) в приграничных узлах для момента времени  $t = t^n$  определялась характерная скорость переноса возмущений и с использованием стандартной процедуры [2] конструировалось краевое условие типа (10). Краевые условия для  $\rho_1$ ,  $\omega$  при этом ставились исходя из аппроксимации линеаризованного аналога уравнений (2)–(3).

### 3. Результаты численных экспериментов

Численная модель тестировалась путем решения задачи в однородной жидкости. В этом случае имеется точное решение

$$\psi = \theta q \frac{dq}{dt}, \quad \omega = 0. \quad (12)$$

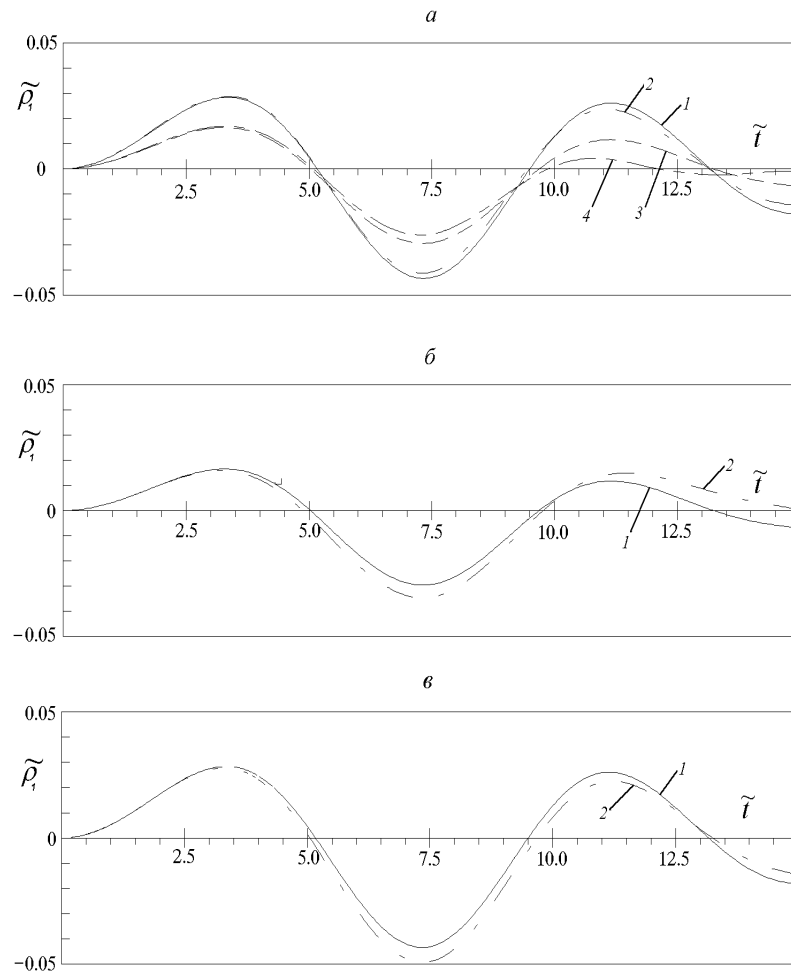


Рис. 1.

Результаты расчетов, полученные с применением равномерных и неравномерных сеток демонстрируют сходимость сеточных решений к точному с порядком  $O(h^2)$ .

Ниже приводятся результаты численных экспериментов, направленных на анализ свойств алгоритма расчета в полной постановке.

Первая серия численных экспериментов была выполнена с целью демонстрации роли краевого условия для  $\psi$  при  $r = R$ . Величина  $\tilde{R} = R/r_0$  полагалась равной 27.6;  $N_1 = 29$ ;  $N_2 = 41$ . На рис. 1, а приведены графики функции  $\tilde{\rho}_1(\tilde{t}, 0, \tilde{y}) = \rho_1(\tilde{t}, 0, \tilde{y})/ar_0\rho_0$ ,  $a = -(1/\rho_0)d\rho_s/dy$ ;  $\tilde{t} = t \cdot \omega_f$ ,  $\tilde{y} = y/r_0$ . Кривые 1, 2 соответствуют  $\tilde{y} = 6$ ; кривые 3, 4 —  $\tilde{y} = 10$ . Кривые 1, 3 получены при использовании аппроксимации условия Неймана для функции тока; 2, 4 — условия (11). Можно видеть, что для  $\tilde{y} = 10$  при больших значениях  $\tilde{t}$  имеются расхождения. Рис. 1, б, в демонстрируют роль величины  $R$  при фиксированном краевом условии (двухточечной аппроксимации условия Неймана для  $\psi$ ). Кривые 1 на рис. 1, б, в получены для  $\tilde{R} = 27.6$ ; кривые 2 — для  $\tilde{R} = 17$ . Здесь  $\tilde{y} = 6$ . Во всех случаях краевые условия для  $\omega$ ,  $\rho_1$  ставились исходя из линеаризованных уравнений для этих величин.

Рис. 2 иллюстрирует роль величин  $N_1$ ,  $N_2$  (числа разбиений по переменным  $r'$ ,  $\theta'$ ). Они выполнены для  $N_1 = 41$ ,  $N_2 = 29$ . Рис. 2, а получен с применением условия Неймана; рис. 2, б — условия (11). Кривые 1, 3 на этих рисунках соответствуют  $N_1 = 41$ ,  $N_2 = 29$ ;

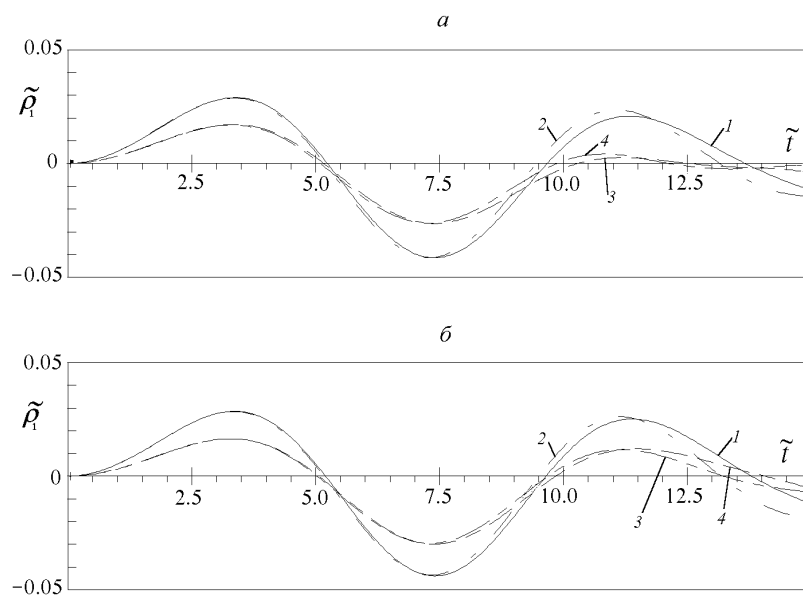


Рис. 2.

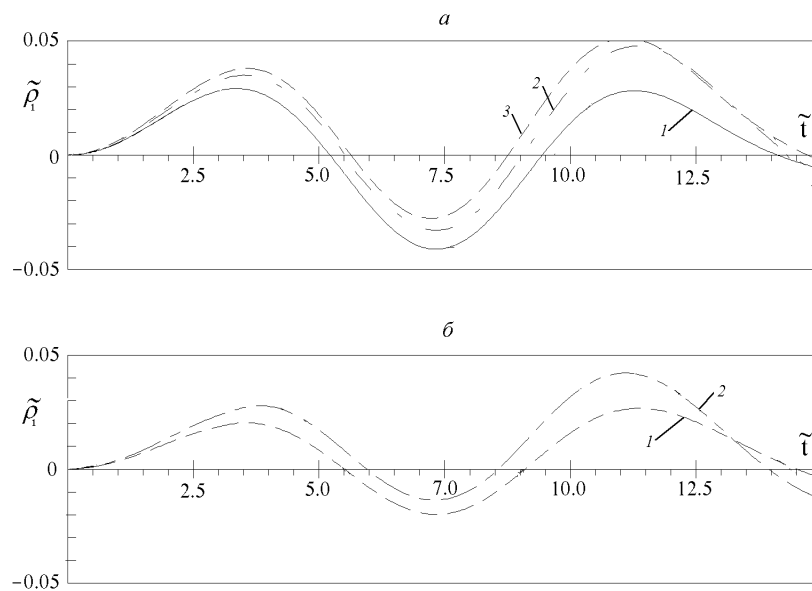


Рис. 3.

кривые 2, 4 —  $N_1 = 29$ ,  $N_2 = 41$ ;  $\tilde{y} = 6$ ;  $\tilde{R} = 27.6$ . Результаты расчетов с применением различных сеток достаточно близки.

Наконец, рис. 3 демонстрирует роль величины  $R$ . Кривые 1–3 на рис. 3, а соответствуют значениям  $\tilde{R}$ , равным 27.6, 50.0, 100.0;  $\tilde{y} = 6$ . Кривые 1, 2 на рис. 3, б получены для  $\tilde{R} = 50.0$ ; 100.0. Результаты расчетов, к сожалению, демонстрируют существенную роль параметра  $R$ . В качестве краевого условия использовалось условие Неймана.

Ряд расчетов выполнялся на последовательности значений  $\tilde{\tau} = 0.05, 0.1$ . Основные расчеты выполнены с  $\tilde{\tau} = 0.05$ . Увеличение  $\tilde{\tau}$  в 2 раза ( $\tilde{\tau} = 0.1$ ) привело к отклонениям не более 5% в равномерной норме.

## 4. Заключение

Построена численная модель волновых движений, генерируемых цилиндром переменного радиуса в линейно-стратифицированной среде. Выполнена серия численных экспериментов, направленных на ее тестирование. Дальнейшее уточнение алгоритма путем привлечения аппроксимаций более высокого порядка и асимптотик для постановки краевых условий, а также сопоставление с результатами экспериментального и асимптотического анализа [3, 4] представляет задачу ближайших исследований.

Авторы благодарят Г. Г. Черных за постановку задачи и помощь в работе.

## Список литературы

- [1] ЯНЕНКО Н. Н. *Метод дробных шагов решения многомерных задач математической физики*. Наука, Новосибирск, 1967.
- [2] ORLANSKI I. A simple boundary condition for unbounded hyperbolic flows. *J. Comput. Phys.*, **21**, №3, 1976, 251–269.
- [3] БЕЛЯЕВ В. С. Экспериментальное исследование волновых и конвективных течений в стратифицированной жидкости. *Автореф. дис. ... канд. физ.-мат. наук*. ИПМех АН СССР, М., 1984.
- [4] ГОРОДЦОВ В. А. Порождение и динамика малых возмущений в стратифицированных жидкостях. *Дис. ... докт. физ.-мат. наук*. ИПМех РАН, М., 1996.

Поступила в редакцию 24 апреля 1996 г.